

# การศึกษามิติของกระดูกเบ้าตาสำหรับรองรับสิ่งปลูกฟันบริเวณ ขากรรไกร-ใบหน้า จากการพิจารณาค่าส่วนตัวค่าคงที่คอมพิวเตอร์ ทางก้านตกรรม

## Dimensional Study of Orbital Supporting Bone for Maxillo-facial Implants by Dental Computed Tomograms

อนอง มองค์<sup>1</sup>, ปฐวี คงขุนทดยืน<sup>2</sup>, พนารัตน์ ชุดแก้ว<sup>3</sup>, วิจิตร ธรรมนนท์<sup>2</sup>, ปิยวัฒน์ พันธุ์โภคล<sup>4</sup>

<sup>1</sup>นิสิตปริญญาโท ภาควิชาทันตกรรมประดิษฐ์ คณะทันตแพทยศาสตร์ จุฬาลงกรณ์มหาวิทยาลัย

<sup>2</sup>ศูนย์เทคโนโลยีทางทันตกรรมชั้นสูง (ศูนย์แห่งความเป็นเลิศเฉพาะด้าน) สำนักงานพัฒนาวิทยาศาสตร์และเทคโนโลยีแห่งชาติ

<sup>3</sup>ภาควิชาทันตกรรมประดิษฐ์ คณะทันตแพทยศาสตร์ มหा�วิทยาลัยเชียงใหม่

<sup>4</sup>ภาควิชาทันตกรรมประดิษฐ์ คณะทันตแพทยศาสตร์ จุฬาลงกรณ์มหาวิทยาลัย

On-ong Mungkung<sup>1</sup>, Pathawee Khongkhunthian<sup>2</sup>, Panarat Kodkeaw<sup>3</sup>, Wichit Tharanon<sup>2</sup>, Piyawat Phankosol<sup>4</sup>

<sup>1</sup>Student in Master Program, Department of Prosthodontics, Faculty of Dentistry, Chulalongkorn University,

<sup>2</sup>Advanced Dental Technology Center (ADTEC) [Centre of Excellence]

National Science and Technology Development Agency(NSTDA),

<sup>3</sup>Department of Prosthodontics, Faculty of Dentistry, Chiang Mai University,

<sup>4</sup>Department of Prosthodontics, Faculty of Dentistry, Chulalongkorn University.

ปม.ทันตสาร 2554; 32(2) : 23-31

CM Dent J 2011; 32(2) :23-31

### บทคัดย่อ

การศึกษานี้มีวัตถุประสงค์เพื่อวัดขนาดกระดูกเบ้าตาที่ตำแหน่งต่างๆ สำหรับสิ่งปลูกฟันบริเวณขากรรไกร-ใบหน้า โดยใช้ภาพรังสีส่วนตัวค่าคงที่คอมพิวเตอร์ทางทันตกรรมที่ถูกแปลงไปเป็นภาพสามมิติ ของอาสาสมัครชาวไทย จำนวน 30 ราย ประกอบด้วย เพศหญิง 24 ราย และ เพศชาย 6 ราย การวัดทำในกระดูก 3 ชิ้นที่ประกอบขึ้นเป็นขอบเบ้าตา คือ กระดูกหน้าผาก กระดูกโหนกแก้ม และกระดูกขากรรไกรบน โดยแบ่ง

### Abstract

This study aimed to determine the bone availability in various locations of the orbital region for craniofacial implants. Thirty dental computed tomograms of Thai volunteers (6 male and 24 female) were transformed to three-dimensional images. The measurement was done in 3 bones of the orbital rims (Frontal bone, Maxillary bone and Zygomatic bone). Each bone

Corresponding Author:

พนารัตน์ ชุดแก้ว

ผู้ช่วยศาสตราจารย์ ดร. ภาควิชาทันตกรรมประดิษฐ์  
คณะทันตแพทยศาสตร์ มหा�วิทยาลัยเชียงใหม่ เชียงใหม่ 50200

Panarat Kodkeaw

Assistant Professor Dr., Department of Periodontology,  
Faculty of Dentistry, Chiang Mai University,  
Chiang Mai 50200, Thailand.  
E-Mail: [panarat@chiangmai.ac.th](mailto:panarat@chiangmai.ac.th)

กระดูกแต่ละชิ้นออกเป็น 5 บริเวณ จากนั้นวัดความ  
หนาของกระดูกที่ความลึก 3 ระดับ ผลการศึกษาพบ  
ว่าความหนาของกระดูกเบ้าตามีค่าเฉลี่ยตั้งแต่  $0.23\pm$   
 $12.66$  มิลลิเมตร แตกต่างกันไปตามตำแหน่งบนข้อบ  
เบ้าตา โดยกระดูกหน้าผากมีความหนามากที่สุดใน  
บริเวณด้านไกกลาง หรือ ด้านไกกลางของเบ้าตา  
ส่วนบน ( $12.44\pm5.27$  มิลลิเมตร) กระดูกในนกแก้มมี  
ความหนามากที่สุดในบริเวณกึ่งกลางหรือบริเวณไก  
กลางของเบ้าตาล่าง ( $10.37\pm3.81$  มิลลิเมตร) สำหรับ  
กระดูกขากรรไกรบนนั้นพบว่ามีความหนามากที่สุดใน  
บริเวณกึ่งกลางหรือบริเวณไกลักษณะของเบ้าตาล่าง  
( $5.02\pm1.60$  มิลลิเมตร) ด้วยสิ่งปลูกฟันที่มีในปัจจุบัน  
ต้องการความหนาของกระดูกอย่างน้อย 3 มิลลิเมตร  
จึงสามารถสรุปได้ว่า กระดูกขากรรไกรบนไม่เหมาะสม  
สำหรับการปลูกสิ่งปลูกฟัน ดังนั้นการกำหนดตำแหน่ง  
ฟันสิ่งปลูกฟันเพื่อยึดสิ่งประดิษฐ์ในหน้าขากรรไกรของ  
ตานจึงจำกัดอยู่เฉพาะที่กระดูกหน้าผากและกระดูก  
ในนกแก้มเท่านั้น นอกจากนี้แล้วข้อมูลจากการศึกษาที่  
ยังเป็นประโยชน์สำหรับการออกแบบสิ่งปลูกฟันบริเวณ  
ขากรรไกร-ใบหน้าสำหรับคนไทยต่อไป

**คำสำคัญ:** สิงค์ปุลิก, ผู้บริหารอาชญากรรม, ไกร-ใบหน้า, ภาค  
รังสีส่วนตัว, อาศัยคอมพิวเตอร์, สิงค์ประดิษฐ์, ใบหน้าอา  
กรรไกร

## บทนำ

ในสภาพสังคมตั้งแต่อดีตจนถึงปัจจุบันความ  
สวยงามเป็นธรรมชาติของใบหน้ามีความสำคัญต่อการ  
ดำเนินชีวิตเป็นอย่างมาก ผู้คนมักสังเกตองค์ประกอบ  
ของใบหน้า เช่น ตา หู จมูก และปาก อยู่เสมอ โดย  
เฉพาะอย่างยิ่งในขณะพบปะพูดคุย ดังนั้นผู้ป่วยที่สูญ  
เสียอวัยวะบริเวณศีรษะและใบหน้า ไม่ว่าจะเป็นมาแต่  
กำเนิดหรือเกิดภัยหลังจากได้รับบาดเจ็บ ติดเชื้อ หรือ  
เป็นเนื้องอก<sup>(1)</sup> จึงต้องการการบูรณะให้กลับมา มีสภาพ  
เดิม แม้ว่าการบูรณะจะสามารถทำได้โดยใช้วิธีทาง  
ศัลยกรรม แต่บริการนี้ก็ไม่ประสบผลสำเร็จในผู้ป่วยทุก  
ราย อาทิเช่น ผู้ป่วยที่มีรอยโรคขนาดใหญ่มากจนไม่

was divided into 5 areas then the bone thickness at 3 levels was measured. The results showed that the thickness of orbital bone varied from 0.23 to 12.66 millimeters. The thickest area of the frontal bone was located at the lateral part, or lateral supraorbital rim ( $12.44\pm5.27$  mm). The thickest area of the zygomatic bone was located at the middle, or lateral infraorbital rim ( $10.37\pm3.81$  mm). For the maxillary bone, the thickest area was located at the middle, or medial infraorbital rim ( $5.02\pm1.60$  mm). Since, maxillo-facial implants provided nowadays require bone thickness of at least 3 mm, we can conclude that the maxillary bone is not suitable for implantation. Therefore, the implantable areas for orbital prosthesis are limited to the frontal and zygomatic bones. Moreover, the data from this study are valuable for designing maxillo-facial implants for Thai people.

**Keywords:** Maxillo-facial implants, Computed tomogram, Maxillofacial prosthesis

สามารถหาเนื้อเยื่อมาทดแทนได้ ผู้ป่วยที่ได้รับรังสีรักษาซึ่งมักจะประสบกับปัญหาคุณภาพของเนื้อเยื่อและการหายของแผล ผู้ป่วยอายุมากสูขภาพไม่แข็งแรง และผู้ป่วยที่มีข้อห้ามในการทำศัลยกรรม การบูรณะโดยใช้อวัยวะเทียมสำหรับทดแทนอวัยวะที่สำคัญบริเวณใบหน้าที่สูญเสียไป จึงเป็นทางเลือกที่ดีอีกประการหนึ่ง สำหรับผู้ป่วย<sup>(2-7)</sup>

นอกจากความสวยงามเป็นธรรมชาติแล้ว ความสำคัญของการทำวัสดุเทียมนั้นยังขึ้นอยู่กับการยึดอุปกรณ์ที่มีเสียงรบกวนในหน้าของผู้ป่วยอีกด้วย ในอดีตมักใช้วิธีการยึดอุปกรณ์เทียมเข้ากับเว่นตา หรือใช้สารยึดติด ซึ่งมีข้อจำกัดในเรื่องความสะอาดส่วนใหญ่และความ

มั่นใจในการใช้อวัยวะเทียม มีความจำากในการกำจัดสารยึดติดออกให้หมดและหายในทุกวัน ความเสียหายของขอบอวัยวะเทียมจากการทำความสะอาดสารยึดติดออก การยึดอยู่ที่ด้วยลงเมื่อมีเหงื่อออภายนอกได้อวัยวะเทียม นอกจากนี้แล้วผู้ป่วยบางรายยังอาจแพ้สารยึดติด<sup>(1,8-12)</sup> ด้วยเหตุนี้จึงมีแนวคิดในการใช้สิ่งปลูกฟันบริเวณขากรรไกร-ใบหน้า ร่วมกับสารยึดติดเพื่อให้อวัยวะเทียมมีการยึดอยู่ที่ดีและมีความทนทานในการใช้ยิ่งขึ้น

การใช้สิ่งปลูกฟันบริเวณขากรรไกร-ใบหน้า เริ่มขึ้นในปี ค.ศ.1977 (พ.ศ.2520) โดยเป็นสิ่งปลูกฟันลักษณะพิเศษที่ฝังไว้ที่กระดูกหลังหูเพื่อรับคุปกรณ์ช่วยฟัง (bone-anchored hearing aid)<sup>(13,14)</sup> ต่อมาในปี ค.ศ. 1979 (พ.ศ.2522) จึงมีการฝังสิ่งปลูกฟันที่กระดูกแมส-ตอยด์ (mastoid region) เพื่อยึดหูเทียมเป็นครั้งแรก<sup>(15)</sup> จากนั้นการใช้สิ่งปลูกฟันบริเวณขากรรไกร-ใบหน้าสำหรับยึดอวัยวะเทียมบริเวณศีรษะและใบหน้าได้เป็นที่ยอมรับมากขึ้น<sup>(10,16-20)</sup> และในปี พ.ศ.2546 ปีyawitz และคณะได้ให้การรักษาผู้ป่วยใบหน้าพิการโดยใช้การยึดติดกับสิ่งปลูกฟัน ซึ่งประสบความสำเร็จเป็นอย่างดี<sup>(21)</sup>

การใช้สิ่งปลูกฟันมีข้อดี คือ สามารถทำให้อวัยวะเทียมยึดอยู่ได้อย่างแน่นหนา ใส่อวัยวะเทียมเข้าที่ได้ง่าย สามารถใช้ได้ในผู้ที่แพ้สารยึดติด สามารถทำขอบให้บางได้ และสามารถสร้างให้มีแรงคงทนของบริเวณที่ติดกับเนื้อเยื่ออรอบา ได้<sup>(1,10,22)</sup> แต่จากการศึกษาลักษณะทาง

การวิภาคของกระดูกบริเวณใบหน้า ณ ตำแหน่งที่จะฝังสิ่งปลูกฟัน พบว่า มักมีลักษณะบางและอ่อน陋ตาม สิ่งปลูกฟันที่ใช้ในบริเวณนี้จึงมีลักษณะและรูปแบบที่แตกต่างไปจากกระดูกที่ใช้ภายในช่องปาก คือ มีความยาวเพียง 3-4 มิลลิเมตรและมีโครงสร้างที่ช่วยเพิ่มการยึดอยู่กับกระดูก จากรายงานการศึกษาที่ผ่านมาเกี่ยวกับความยั่งยืน (longevity) ของสิ่งปลูกฟันบริเวณขากรรไกร-ใบหน้า พบว่า มีอัตราความสำเร็จโดยรวม (overall success rate) ร้อยละ 70-98 ซึ่งเมื่อแยกตามตำแหน่งฝังพบว่าการฝังในบริเวณกระดูกรอบรูหู ซึ่งเป็นผลจากการมีความบกพร่องในการมองเห็นทำให้เป็นอุบัติเหตุในการดูแลทำความสะอาดประ掏กับบริเวณเบ้าตามมีเส้นเลือดมาเลี้ยงน้อยกว่าบริเวณกระดูกแมสตอยด์ นอกจากนี้แล้วยังพบว่าการฝังที่ขอบด้านข้างของเบ้าตามมีอัตราความสำเร็จสูงกว่าที่ขอบด้านบน<sup>(25,27)</sup>

ความต้องการสิ่งปลูกฟันบริเวณขากรรไกร-ใบหน้า สำหรับยึดอวัยวะเทียมในปัจจุบันมีสูง เนื่องจากเหตุความไม่สงบในพื้นที่บริเวณชายแดนภาคใต้ แต่การผลิตและการศึกษาเกี่ยวกับสิ่งปลูกฟันในบริเวณนี้มักทำในต่างประเทศ จึงมีขนาดที่เป็นไปตามลักษณะทางกายวิภาคของชาวต่างประเทศในทวีปยุโรป โดยมีเส้นผ่านศูนย์กลาง 3.3-3.75 มิลลิเมตร และมีความยาว 2.5-6

**ตารางที่ 1** แสดงขนาดและลักษณะของสิ่งปลูกฟันบริเวณขากรรไกร-ใบหน้า

**Table 1** Size and characteristics of craniofacial implants

System	Bränemark (Sweden)	Straumann (Switzerland)	ANKYLOS® (Germany)	Vistafix™ (Sweden)
Materials	Ti	Ti Grade 4	Ti Grade 2	Ti
Surface	Machine	Sandblast, Large grit, Acid Etch	High-temperature etched	Machine
Shape	Parallel	Parallel	Taper	Parallel
Neck / Shoulder	Peripheral flange with hole	Flat shoulder and Conical neck	Conical neck with micro roughness	Peripheral flange with hole and Flangeless
Diameter (mm)	3.75	3.3	3.5	3.75
Length (mm)	3, 4	2.5, 3.5, 4, 5	4, 5, 6	3, 4

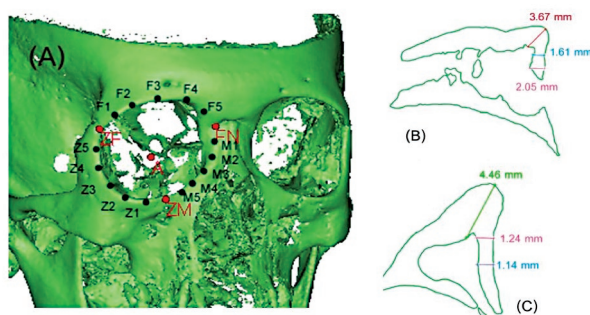
มิลลิเมตร ดังแสดงในตารางที่ 1 ซึ่งขนาดของสิ่งปลูกฝัง ดังกล่าวมีความเหมาะสมกับโครงสร้างทางกายวิภาค ของคนไทยหรือไม่ยังไม่มีการพิสูจน์ จึงนำมาสู่การศึกษา ครั้งนี้โดยมีวัตถุประสงค์เพื่อ ศึกษาความหนาของกระดูก เบ้าตาจากภาพรังสีส่วนตัวด้วยคอมพิวเตอร์ทางทันตกรรม (dental computed tomograms) ของคนไทย ที่ถูกแปลงไปเป็นภาพสามมิติ เพื่อหาตำแหน่งที่เหมาะสม สำหรับการผ่าสิ่งปลูกฝังบริเวณขารถไฟ-ใบหน้า เพื่อยืดเวลาที่ใช้ในการผ่าตัด ซึ่งจะนำไปสู่การออกแบบสิ่งปลูกฝัง บริเวณขารถไฟ-ใบหน้า ที่เหมาะสมกับลักษณะทางกายวิภาคของคนไทยต่อไป

## วัสดุอุปกรณ์และวิธีการ

ภาพสามมิติที่นำมาวัดขนาดกระดูกเบ้าตา ได้มาจากการแปลงข้อมูลภาพรังสีส่วนตัวด้วยคอมพิวเตอร์ทางทันตกรรม ของผู้ป่วยที่มารับบริการที่ศูนย์เทคโนโลยีทางทันตกรรมขั้นสูง ในปี พ.ศ. 2551 จำนวน 30 ราย อายุ 17-65 ปี เป็นชาย 6 ราย และหญิง 24 ราย

การวัดทำในกระดูก 3 ชั้นที่ประกอบขึ้นเป็นขอบเบ้าตาทั้งสองข้าง คือ กระดูกหน้าผาก (Frontal bone) กระดูกโหนกแก้ม (Zygomatic bone) และกระดูกขากรรไกรบน (Maxilla) โดยกำหนดให้วัด 5 บริเวณ สำหรับกระดูกแต่ละชั้น ดังแสดงในรูปที่ 1(A) ซึ่งมี สัญลักษณ์แทนตำแหน่งการวัด ดังนี้ F1-F5 แทน ตำแหน่งบนกระดูกหน้าผาก M1-M5 แทนตำแหน่งบน กระดูกขากรรไกรบน และ Z1-Z5 แทนตำแหน่งบน กระดูกโหนกแก้ม และ วัดความหนาที่ความลึก 3 ระดับ คือ ที่ขอบเบ้าตา ลึกจากขอบเบ้าตาลงไปในกระบอกตา 4 และ 6 มิลลิเมตร ดังแสดงในรูปที่ 1(B) และ 1(C)

วัดความหนาของกระดูกใช้โปรแกรม Materialise's Interactive Medical Image Control System (MIMICS, Materialise N.V., USA) นำค่าที่ได้มาหาค่าเฉลี่ยและร้อยละของผู้ป่วยที่มีกระดูกหนากว่า 5 มิลลิเมตรในแต่ละบริเวณ และวิเคราะห์โดยใช้ทดสอบทางสถิติ โดยใช้การทดสอบมันน์-วิทNEY (Mann-Whitney U Test) และการทดสอบวิลโคกสัน ไชน์ แรนค์ (Wilcoxon Signed Ranks Test) ที่ระดับความเชื่อมั่นร้อยละ 95



**รูปที่ 1** ตำแหน่งในการวัดความหนาของขอบเบ้าตา  
(A) ภาพสามมิติแสดงตำแหน่งสำหรับวัดความหนา ของขอบเบ้าตาทั้ง 15 ตำแหน่ง  
(B) ภาพตัดขวางสองมิติในแนว A-F4 เพื่อวัด ความหนาทั้ง 3 จุดบริเวณตำแหน่ง F4  
(C) ภาพตัดขวางสองมิติในแนว A-Z1 เพื่อวัด ความหนาทั้ง 3 จุดบริเวณตำแหน่ง Z1

**Figure 1** Landmarks for orbital rims measurement

- (A) 3-D reconstruction image demonstrated 15 landmarks for orbital rims measurement
- (B) 2-D reconstruction image along A-F4 line demonstrated 3 measurement points
- (C) 2-D reconstruction image along A-Z1 line demonstrated 3 measurement points

## ผลการศึกษา

จากการวัดความหนาของกระดูกเบ้าตาจำนวน 45 ตำแหน่ง ความหนาของกระดูกเบ้าตามีค่าเฉลี่ยตั้งแต่ 0.23-12.66 มิลลิเมตร แตกต่างกันไปตามตำแหน่งบนขอบเบ้าตา ดังแสดงในตารางที่ 2 ซึ่งพบว่า ในบรรดากระดูกทั้ง 3 ชั้นที่ประกอบขึ้นเป็นเบ้าตา กระดูกขากรรไกรบนเป็นส่วนที่มีความหนาน้อยที่สุด

เมื่อพิจารณาเฉพาะกระดูกหน้าผาก พบร่วมกับกระดูกโหนกแก้ม พบว่าที่ระดับขอบเบ้าตา ด้านไกกลางมีความหนามากที่สุดจากนั้น จึงลดลงเรื่อยๆ เมื่อเข้าสู่ด้านไกลักษณะ โดยบริเวณที่มีค่าเฉลี่ยความหนาสูงสุดคือ ที่ขอบเบ้าตาตำแหน่ง F1 ( $12.44 \pm 5.27$  มิลลิเมตร) รองลงมาคือ ตำแหน่ง F2 ( $12.05 \pm 4.69$  มิลลิเมตร) ที่ไม่พบว่ามีความแตกต่างกันอย่างมีนัยสำคัญทางสถิติ นอกจากนี้แล้วยังพบว่าความหนามีค่าลดลงจากขอบประมาณร้อยละ 40-76 ในระดับ

**ตารางที่ 2** แสดงค่าเฉลี่ยความหนาของกระดูกเบ้าตา (มิลลิเมตร)**Table 2 Average thickness of orbital bone (millimeter)**

		<b>F1</b>	<b>F2</b>	<b>F3</b>	<b>F4</b>	<b>F5</b>
<b>Frontal bone</b>	Orbital rim	12.44 ± 5.27	12.05 ± 4.69	8.65 ± 4.16	3.39 ± 1.88	1.87 ± 0.79
	4 mm. inward	4.11 ± 0.95	4.54 ± 1.27	5.11 ± 3.16	1.68 ± 2.01	0.80 ± 1.01
	6 mm. inward	4.75 ± 1.29	5.54 ± 2.54	5.09 ± 5.18	1.20 ± 1.77	0.35 ± 0.68
		<b>M1</b>	<b>M2</b>	<b>M3</b>	<b>M4</b>	<b>M5</b>
<b>Maxillary bone</b>	Orbital rim	3.79 ± 1.42	4.45 ± 1.38	5.02 ± 1.60	4.51 ± 2.74	2.39 ± 1.64
	4 mm. inward	0.84 ± 1.12	2.53 ± 2.49	2.75 ± 2.13	1.75 ± 3.29	0.49 ± 1.01
	6 mm. inward	0.87 ± 2.59	0.69 ± 1.45	0.67 ± 1.39	1.19 ± 2.52	0.21 ± 0.39
		<b>Z1</b>	<b>Z2</b>	<b>Z3</b>	<b>Z4</b>	<b>Z5</b>
<b>Zygomatic bone</b>	Orbital rim	4.23 ± 2.17	8.21 ± 4.22	9.82 ± 1.90	8.69 ± 2.07	8.82 ± 1.89
	4 mm. inward	2.87 ± 2.68	8.79 ± 5.26	9.69 ± 3.44	8.22 ± 2.14	8.29 ± 1.79
	6 mm. inward	1.55 ± 1.82	7.39 ± 6.11	10.37 ± 3.81	7.25 ± 4.00	6.07 ± 2.82

**ทั่วไป 4 และ 6 มิลลิเมตร**

ในส่วนของกระดูกขากรรไกรบนนั้น พบร่วมที่ระดับขอบเบ้าตา บริเวณที่มีค่าเฉลี่ยความหนาสูงสุด คือ ที่ตำแหน่ง M3 ( $5.02 \pm 1.60$  มิลลิเมตร) โดยไม่พบว่ามีความแตกต่างอย่างมีนัยสำคัญทางสถิติระหว่างตำแหน่ง M3 กับ M4 และพบว่าความหนามีค่าลดลงจากขอบประมาณร้อยละ 40-90 ในระดับที่ลึกลงไป 4 และ 6 มิลลิเมตร

สำหรับกระดูกในแก้มนั้น พบร่วม บริเวณที่มีความหนาสูงสุดอยู่ที่ตำแหน่ง Z3 ที่ระดับความลึก 6 มิลลิเมตรจากขอบเบ้าตา ( $10.37 \pm 3.81$  มิลลิเมตร) และพบ

ว่าที่ตำแหน่งนี้มีค่าเฉลี่ยสูงสุดในทุกระดับความลึกนอกจากนี้แล้วยังไม่พบว่ามีความแตกต่างอย่างมีนัยสำคัญทางสถิติ ระหว่างตำแหน่ง Z2, Z3, Z4 และ Z5 ในทุกระดับความลึก ในส่วนความแตกต่างของความหนาที่ระดับความลึกต่างๆ นั้น พบร่วมไม่มีความแตกต่างอย่างมีนัยสำคัญทางสถิติในทุกตำแหน่ง

เมื่อนำข้อมูลมาแจกแจงความถี่ให้ออกมาเป็นรูปร้อยละการพบร่องกระดูกที่มีความตั้งแต่ 5 มิลลิเมตรขึ้นไปโดยพิจารณาแยกตามบริเวณที่ทำการวัด ดังแสดงในตารางที่ 3 พบร่วม ผู้ป่วยทุกรายมีความหนาของกระดูกตั้งแต่ 5 มิลลิเมตร ขึ้นไป ที่ขอบเบ้าตาตำแหน่ง F1, Z3,

**ตารางที่ 3** แสดงร้อยละของผู้ป่วยที่มีกระดูกหนาตั้งแต่ 5 มิลลิเมตร ขึ้นไป**Table 3 Percentage of patients with bone thickness since 5 millimeter**

		<b>F1</b>	<b>F2</b>	<b>F3</b>	<b>F4</b>	<b>F5</b>
<b>Frontal bone</b>	Orbital rim	100	93	70	18	30
	4 mm. inward	15	30	57	8	0
	6 mm. inward	38	60	40	7	0
		<b>M1</b>	<b>M2</b>	<b>M3</b>	<b>M4</b>	<b>M5</b>
<b>Maxillary bone</b>	Orbital rim	23	37	40	40	13
	4 mm. inward	0	18	22	10	0
	6 mm. inward	7	0	3	10	0
		<b>Z1</b>	<b>Z2</b>	<b>Z3</b>	<b>Z4</b>	<b>Z5</b>
<b>Zygomatic bone</b>	Orbital rim	30	80	100	100	100
	4 mm. inward	20	77	98	93	97
	6 mm. inward	3	57	87	63	60

Z4, Z5 สำหรับตำแหน่งที่พบได้สูงในระดับร้อยละ 98, 97 และ 93 คือ ที่ระดับความลึก 4 มิลลิเมตรจากขอบเบ้าตาตำแหน่ง Z3, Z5 และ Z4 และที่ขอบเบ้าตาตำแหน่ง F2 สำหรับกระดูกขากรรไกรบนนั้น ไม่พบว่ามีตำแหน่งใดที่มีความถี่การพบสูงกวาร้อยละ 50 เลย

## บทวิจารณ์

แม้ว่าแนวคิดเกี่ยวกับกระบวนการกระดูกเขี้ยวมีประสาน (Osseointegration) สำหรับสิ่งปลูกฟันภายในซ่องปาก (Intraoral implant) และสิ่งปลูกฟันบริเวณขากรรไกร-ใบหน้า จะเป็นอันเดียวกัน แต่การออกแบบสิ่งปลูกฟันบริเวณขากรรไกร-ใบหน้านั้นจำเป็นต้องมีการปรับปรุงเพื่อให้เหมาะสมกับกายวิภาคของกระดูกใบหน้า และลักษณะการใช้งาน แต่เนื่องจากกระดูกบริเวณใบหน้า ณ ตำแหน่งสำหรับฟันสิ่งปลูกฟันบริเวณขากรรไกร-ใบหน้า นั้นมักมีลักษณะบางและอ่อนหัว จึงต้องมีการใช้สิ่งปลูกฟันที่มีลักษณะสันเพื่อใช้ในบริเวณนี้ แต่การใช้สิ่งปลูกฟันที่สันนั้นมีความสัมพันธ์กับการอุบัติภัยและการหลุดของสิ่งปลูกฟัน<sup>(28-30)</sup> ซึ่ง Renouard และคณะได้ศึกษาเกี่ยวกับสิ่งปลูกฟันที่มีเส้นผ่านศูนย์กลาง 5 มิลลิเมตรพบว่า สิ่งปลูกฟันที่มีความยาว 4 และ 5 มิลลิเมตรนั้นให้ผลที่ดีในการดูดขากรรไกรบนและล่าง<sup>(31)</sup> ซึ่งแรงจากการบดเคี้ยวมากกว่าที่บริเวณใบหน้ามาก เช่นเดียวกันกับการศึกษาของ Schlegel และคณะ ที่พบว่า สิ่งปลูกฟันที่มีความยาว 4.5 และ 6 มิลลิเมตร นั้นมีอัตราการหลุดที่สูง<sup>(18)</sup> เมื่อพิจารณาถึงลักษณะกายวิภาคของกระดูกใบหน้า ความหนาของกระดูกเป็นตัวกำหนดความยาวของสิ่งปลูกฟัน โดยเมื่อฟันสิ่งปลูกฟันบนขอบเบ้าตาความหนาตามแนวยาวของกระดูกเป็นตัวกำหนดความยาวของสิ่งปลูกฟัน แต่เมื่อฟันสิ่งปลูกฟันในระดับที่ลึกจากขอบเข้าไปด้านใน ความหนาของแผ่นกระดูกจึงเป็นตัวกำหนดความยาวของสิ่งปลูกฟันในตำแหน่งนี้

เนื่องด้วยลักษณะทางกายวิภาคของกระดูกมีความ

แตกต่างกันจากปัจจัยต่างๆ เช่น เข็มชาติ เพศ และอายุ ภาพรังสีส่วนตัดอาศัยคอมพิวเตอร์จึงเป็นเครื่องมือที่เป็นประโยชน์อย่างมากสำหรับการประเมินบริมาณและคุณภาพของกระดูกเพื่อการวางแผนการรักษา ก่อนทำการผ่าตัดฟันสิ่งปลูกฟันบริเวณขากรรไกร-ใบหน้า วิถีทั่วไปในการถ่ายภาพรังสีส่วนตัดอาศัยคอมพิวเตอร์ได้มีการพัฒนามาโดยตลอดและเป็นที่นิยมมากขึ้นสำหรับทันตแพทย์ในการวางแผนการฟันสิ่งปลูกฟัน เนื่องจากมีความแม่นยำสูงและสามารถทำขึ้นได้ Waitzman และคณะได้ศึกษาความแม่นยำในการวัดระยะระหว่างตำแหน่งต่างๆ บนกะโหลกศีรษะโดยอาศัยภาพรังสีส่วนตัดอาศัยคอมพิวเตอร์เบรี่บเทียบกับการวัดโดยตรงจากกะโหลกศีรษะ พับง่า ทั้ง 2 วิธีให้ค่าที่ใกล้เคียงกันมาก โดยการจัดตำแหน่งศีรษะขณะถ่ายภาพรังสีมีผลต่อการเบรี่บเทียบของค่าการวัด ซึ่งพบว่าเมื่อตำแหน่งศีรษะเบรี่บเทียบไป 4 องศา จะทำให้ค่าที่วัดได้เบรี่บเทียบไปไม่เกินร้อยละ 5 ซึ่งค่านี้เป็นที่ยอมรับได้ในทางคลินิก<sup>(32)</sup>

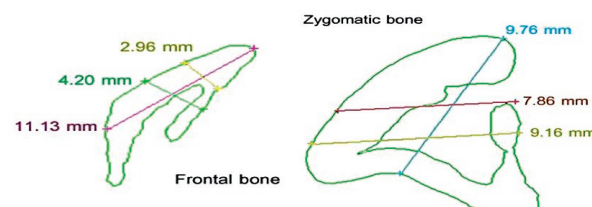
ที่ผ่านมาการศึกษาเกี่ยวกับความหนาของกระดูกบริเวณใบหน้าและขากรรไกรของคนไทยเพื่อกำหนดตำแหน่งในการฟันสิ่งปลูกฟันมีอยู่มาก จากการวิเคราะห์ข้อมูลความหนาของกระดูกใบหน้าและขากรรไกรจากภาพรังสีส่วนตัดอาศัยคอมพิวเตอร์จำนวน 30 ราย พับง่าบริเวณเบ้าตา ตำแหน่งที่มีความหนาของกระดูกเหมาะสมสำหรับการฟันสิ่งปลูกฟันบริเวณขากรรไกร-ใบหน้านั้นอยู่บริเวณขอบบนด้านไกกลาง (Supraorbital lateral) ขอบล่างด้านไกกลาง (infraorbital lateral) และขอบด้านไกกลางของเบ้าตา (Lateroorbital) เนื่องจากพบว่าผู้ป่วยทุกรายมีความหนาของกระดูกบริเวณนี้มากกว่า 5 มิลลิเมตร ผลการศึกษาในครั้งนี้สอดคล้องไปกับการศึกษาของ Klien และคณะ ที่พบว่าชาวเยอรมัน ขอบเบ้าตาบริเวณด้านไกกลางมีความหนาของกระดูกมากที่สุด (8-14 มิลลิเมตร) ขอบเบ้าตาด้านไกกลางส่วนล่างมีความหนา 4-10 มิลลิเมตร ขอบเบ้าตาด้านไกกลางส่วนบนมีความหนา 2-14 มิลลิเมตร ในส่วนบริเวณด้านไกกลางมีความหนาเพียง 1-6 มิลลิเมตร<sup>(33)</sup>

ผลการศึกษานี้สามารถประยุกต์ใช้ในทางคลินิกอยู่ 3 ประการคือ การเลือกใช้สิ่งปลูกฟันที่เหมาะสมสมสำหรับตำแหน่งต่างๆ การเลือกตำแหน่งฟัน และการออกแบบสิ่ง

ปลูกฟันขึ้นมาใหม่ ในการนี้จะแยกพิจารณาตามส่วนของกระดูกที่ประกอบขึ้นเป็นเบ้าตา ดังนี้ กระดูกหน้าผาก ด้านไกลกกลาง ส่วนหนาของกระดูกจำกัดอยู่เฉพาะบริเวณขอบ เนื่องจากกระดูกบริเวณนี้มีรูปร่างหน้าตัดเป็นสามเหลี่ยมมุมแหลมฐานแคบดังแสดงในรูปที่ 2 ทำให้การเลือกใช้สิ่งปลูกฟันที่เหมาะสมสมสำหรับบริเวณนี้ควรเป็นสิ่งปลูกฟันที่มีความยาว 5-10 มิลลิเมตร และมีเส้นผ่าศูนย์กลางไม่มากนัก เช่น 3.5-5 มิลลิเมตร ดังนั้นสิ่งปลูกฟันที่มีเปลี่ยนสีสีง่าย เช่น สีสิ่งปลูกฟันของ Branemark Straumann และ Vistafix™ จึงไม่เหมาะสมสมสำหรับบริเวณนี้ แต่เมื่อพิจารณาถึงการใช้งานในการยึดสิ่งประดิษฐ์ไปหน้าขากรไกรแล้วนั้น พบว่า การฝังสิ่งปลูกฟันบริเวณขอบเบ้าตาส่วนบนด้านไกลกกลางซึ่งมักตรงกับตำแหน่งของหางตาด้านท้ายให้แนวแกน (axis) ของสิ่งปลูกฟันซึ่งออกด้านนอกชั้นงาน ซึ่งเมื่อต่อสิ่งยึด (attachment) เข้ากับสิ่งปลูกฟันแล้ว ก็จะมีผลให้เคารูป (contour) ของชั้นงานนูนเด่นขึ้นมากกว่าปกติ ซึ่งเป็นผลเสียต่อความสวยงาม ดังนั้นในบริเวณนี้จึงอาจต้องเลือกฝังสิ่งปลูกฟันลึกเข้าไปด้านในเบ้าตา 4-6 มิลลิเมตร ซึ่งพบว่าบริเวณนี้มีความหนาเฉลี่ยเพียง 4.06-5.56 มิลลิเมตร ทำให้ต้องเลือกใช้สิ่งปลูกฟันที่สั้นลง และพบว่าสิ่งปลูกฟันที่ไม่เหมาะสมสมสำหรับใช้ในบริเวณนี้คือ สีสิ่งปลูกฟันความยาว 5 และ 6 มิลลิเมตรของ Straumann และ ANKYLOS®

ส่วนบนกระดูกโหนกแก้มเกือบทุกตำแหน่งมีค่าเฉลี่ยความหนาของกระดูกมากกว่า 8 มิลลิเมตรทั้งบนขอบและลึกเข้าไปด้านในเบ้าตา เนื่องจากกระดูกบริเวณนี้มีรูปร่างหน้าตัดเป็นสามเหลี่ยมด้านเท่าซึ่งมีฐานกว้าง ดังรูปที่ 2 และไม่มีโพรงอากาศในบริเวณนี้ ยกเว้นบริเวณด้านไกลกกลางที่มีโพรงอากาศขนาดใหญ่ (Maxillary sinus) อยู่ด้านในทำให้กระดูกในบริเวณนี้บางกว่าตำแหน่งอื่นๆ การเลือกสิ่งปลูกฟันบริเวณนี้จึงสามารถเลือกความยาวได้ถึง 8-10 มิลลิเมตร และเส้นผ่านศูนย์กลาง 5-8 มิลลิเมตร นั่นคือ สีสิ่งปลูกฟันที่มีขยายอยู่ในท้องตลาดปัจจุบันทุกผลิตภัณฑ์สามารถใช้ได้ในบริเวณนี้

ส่วนบนกระดูกขากรไกรบนนั้นไม่มีตำแหน่งใดที่เหมาะสมสำหรับการฝังสิ่งปลูกฟัน เพราะกระดูกบริเวณนี้บางเนื่องจากมีอวัยวะต่างๆ อยู่รอบๆ ได้แก่ โพรงอากาศ ขากรไกรบน เบ้าตาและโพรงจมูก อีกทั้งเป็นทางผ่าน



รูปที่ 2 ภาพหน้าตัดของกระดูกหน้าผากและกระดูกโหนกแก้ม

Figure 2 Crossectional image of Frontal and Zygomatic bone

ของเส้นประสาทและเส้นเลือดจำนวนมาก

อย่างไรก็ตามยังมีปัจจัยอื่นที่ส่งผลต่อการเลือกและออกแบบสิ่งปลูกฟันบริเวณขากรไกร-ใบหน้า สำหรับคนไทยอีกมาก เช่น คุณภาพของกระดูก ลักษณะความผิดปกติบนใบหน้าของผู้ป่วย และรูปร่างของอวัยวะเทียมซึ่งยังต้องมีการศึกษาอีกด้วย

## บทสรุป

จากการศึกษาความหนาของกระดูกเบ้าตาจากภาพถ่ายรังสีส่วนตัดอาศัยคอมพิวเตอร์ของอาสาสมัครชาวไทย พบว่า บนขอบกระดูกเบ้าตาด้านไกลกกลางทั้งด้านบนและล่าง (บนกระดูกหน้าผากและกระดูกโหนกแก้ม) มีค่าเฉลี่ยของความหนามากกว่าตำแหน่งอื่นๆ และมีค่ามากกว่า 5 มิลลิเมตรในอาสาสมัครทุกราย ดังนั้นการกำหนดตำแหน่งฝังสิ่งปลูกฟันเพื่อยึดสิ่งประดิษฐ์ไปหน้าขากรไกรของตาที่เหมาะสมควรอยู่ที่กระดูกหน้าผากและกระดูกโหนกแก้ม โดยสิ่งปลูกฟันที่มีในปัจจุบันนั้นสามารถนำมาใช้ในบริเวณนี้ได้ ส่วนกระดูกขากรไกรบนนั้นไม่เหมาะสมสำหรับการฝังสิ่งปลูกฟัน นอกจากนี้แล้วข้อมูลข้างต้นยังเป็นประโยชน์ในการออกแบบสิ่งปลูกฟันบริเวณขากรไกร-ใบหน้าสำหรับคนไทยอีกด้วย

## กิตติกรรมประกาศ

การศึกษาวิจัยนี้ได้รับความร่วมมือและช่วยเหลือเป็นอย่างดีจากเจ้าหน้าที่ศูนย์เทคโนโลยีทางทันตกรรมขั้นสูง และ ศูนย์ทันตนวัตกรรม หน่วยทันตกรรม

พระราชทานในพระบาทสมเด็จพระเจ้าอยู่หัว รวมทั้งขอขอบคุณอาสาสมัครทุกท่านที่ให้ความร่วมมือในการเก็บข้อมูลภาพรังสีส่วนตัดอาศัยคอมพิวเตอร์

### เอกสารอ้างอิง

- Beumer J, Curtis TA, Firtell DN. *Maxillofacial rehabilitation : prosthodontic and surgical considerations*. St. Louis: The C.V. Mosby; 1979.
- Rahn AO, Boucher LJ. *Maxillofacial prosthetics : Principles and concepts*. Philadelphia: W.B. Saunders Company; 1970.
- Tjellstrom A, Yontchev E, Lindstrom J, Bränemark PI. Five years' experience with bone-anchored auricular prostheses. *Otolaryngol Head Neck Surg* 1985; 93: 366-72.
- Tjellstrom A, Rosenthal U, Lindstrom J, Hallen O, Albrektsson T, Bränemark PI. Five-year experience with skin-penetrating bone-anchored implants in the temporal bone. *Acta Otolaryngol* 1983; 95: 568-75.
- Wilkes GH, Wolfaardt JF. Osseointegrated alloplastic versus autogenous ear reconstruction: criteria for treatment selection. *Plast Reconstr Surg* 1994; 93: 967-79.
- Bulbulian AH. Facial prosthesis and indications for it. *Mayo Clin Proc* 1949; 24: 117-24.
- ปิยวัฒน์ พันธุ์โภศล, พนารัตน์ ขอดแก้ว, ฤกษ์ วีไลรัตน์, นิยม สำราญค่อนนนทสกุล. ความพิการบนใบหน้าและการบูรณะด้วยอวัยวะเทียม. วิทยาสารทันตแพทยศาสตร์ 2546; 53: 118-30.
- Wolfaardt JF, Tam V, Faulkner MG, Prasad N. Mechanical behavior of three maxillofacial prosthetic adhesive systems: a pilot project. *J Prosthet Dent* 1992; 68: 943-9.
- Parel SM, Bränemark PI, Tjellstrom A, Gion G. Osseointegration in maxillofacial prosthetics. Part II: Extraoral applications. *J Prosthet Dent* 1986; 55: 600-6.
- Nishimura RD, Roumanas E, Sugai T, Moy PK. Auricular prostheses and osseointegrated implants: UCLA experience. *J Prosthet Dent* 1995; 73: 553-8.
- Reisberg DJ, Habakuk SW. Hygiene procedures for implant-retained facial prostheses. *J Prosthet Dent* 1995; 74: 499-502.
- Parel SM. Diminishing dependence on adhesives for retention of facial prostheses. *J Prosthet Dent* 1980; 43: 552-60.
- Albrektsson T, Bränemark PI, Jacobsson M, Tjellstrom A. Present clinical applications of osseointegrated percutaneous implants. *Plast Reconstr Surg* 1987; 79: 721-31.
- Tjellstrom A, Lindstrom J, Hallen O, Albrektsson T, Bränemark PI. Osseointegrated titanium implants in the temporal bone. A clinical study on bone-anchored hearing aids. *Am J Otol* 1981; 2: 304-10.
- Tjellstrom A. Osseointegrated implants for replacement of absent or defective ears. *Clin Plast Surg* 1990; 17: 355-66.
- McComb H. Osseointegrated titanium implants for the attachment of facial prostheses. *Ann Plast Surg* 1993; 31: 225-32.
- Wolfaardt JF, Wilkes GH, Parel SM, Tjellstrom A. Craniofacial osseointegration: the Canadian experience. *Int J Oral Maxillofac Implants* 1993; 8: 197-204.
- Schlegel KA, Schultze-Mosgau S, Eitner S, Wiltfang J, Rupprecht S. Clinical trial of modified ankylos implants for extraoral use in cranio- and maxillofacial surgery. *Int J Oral Maxillofac Implants* 2004; 19: 716-20.
- Nishimura RD, Roumanas E, Moy PK, Sugai T, Freymiller EG. Osseointegrated implants and orbital defects: U.C.L.A. experience. *J Prosthet Dent* 1998; 79: 304-9.
- Van Waas MA. The future of extra-oral implantology. *J Invest Surg* 1994; 7: 333-6.

21. พนารัตน์ ขอดแก้ว, ปิยวัฒน์ พันธุ์โภศล, นิยม จำรงค์อนันตสกุล, ฤกษ์ลี วีไลรัตน์, สมชาย เศรษฐศิริ สมบติ. การบูรณะใบหน้าพิการด้วยใบหน้าเทียมร่วมกับ อะมแพลนท์และตัวยึดแม่เหล็ก: รายงานผู้ป่วย 7 ราย. วิทยาสารทันตแพทยศาสตร์ 2546; 53: 287-301.
22. Arcuri MR, Rubenstein JT. Facial implants. *Dent Clin North Am* 1998; 42: 161-75.
23. Granstrom G, Tjellstrom A, Bränemark PI, Fornander J. Bone-anchored reconstruction of the irradiated head and neck cancer patient. *Otolaryngol Head Neck Surg* 1993; 108: 334-43.
24. Roumanas ED, Freymiller EG, Chang TL, Aghaloo T, Beumer J, 3rd. Implant-retained prostheses for facial defects: an up to 14-year follow-up report on the survival rates of implants at UCLA. *Int J Prosthodont* 2002; 15: 325-32.
25. Jacobsson M, Tjellstrom A, Fine L, Andersson H. A retrospective study of osseointegrated skin-penetrating titanium fixtures used for retaining facial prostheses. *Int J Oral Maxillofac Implants* 1992; 7: 523-8.
26. Abu-Serriah MM, McGowan DA, Moos KF, Bagg J. Outcome of extra-oral craniofacial endosseous implants. *Br J Oral Maxillofac Surg* 2001; 39: 269-75.
27. Kosmidou L, Toljanic JA, Moran WJ, Panje WR. The use of percutaneous implants for the prosthetic rehabilitation of orbital defects in irradiated cancer patients: a report of clinical outcomes and complications. *Int J Oral Maxillofac Implants* 1998; 13: 121-6.
28. Adell R, Lekholm U, Rockler B, Bränemark PI. A 15-year study of osseointegrated implants in the treatment of the edentulous jaw. *Int J Oral Surg* 1981; 10: 387-416.
29. Adell R, Eriksson B, Lekholm U, Bränemark PI, Jemt T. Long-term follow-up study of osseointegrated implants in the treatment of totally edentulous jaws. *Int J Oral Maxillofac Implants* 1990; 5: 347-59.
30. Adell R. Tissue integrated prostheses in clinical dentistry. *Int Dent J* 1985; 35: 259-65.
31. Renouard F, Arnoux JP, Sarment DP. Five-mm-diameter implants without a smooth surface collar: report on 98 consecutive placements. *Int J Oral Maxillofac Implants* 1999; 14: 101-7.
32. Waitzman AA, Posnick JC, Armstrong DC, Pron GE. Craniofacial skeletal measurements based on computed tomography: Part II. Normal values and growth trends. *Cleft Palate Craniofac J* 1992; 29: 118-28.
33. Klein M, Menneking H, Neumann K, Hell B, Bier J. Computed tomographic study of bone availability for facial prosthesis-bearing endosteal implants. *Int J Oral Maxillofac Surg* 1997; 26: 268-71.